

若令

$$\frac{\Omega_u}{\Omega_p} = \lambda, \quad (7.5.25a)$$

$$\sqrt{\frac{10^{0.1A_s} - 1}{10^{0.1R_p} - 1}} = g \quad (7.5.25b)$$

则有

$$N \geq \lg g / \lg \lambda, \quad (7.5.26a)$$

取滤波器阶数为 $\lfloor N+1 \rfloor$ (即取 $(N+1)$ 的整数部分)。

* 若 $R_p = 3\text{dB}$, 即 $\Omega_p = \Omega_c$, 则 $R_p = 10 \lg \left[1 + \left(\frac{\Omega_c}{\Omega_c} \right)^{2N} \right] = 10 \lg 2$ 将其代入 (7.5.24) 式可得 $R_p = 3\text{dB}$ 时的阶次 N 为

$$N \geq \lg(10^{0.1A_s} - 1) / \left(2 \lg \left(\frac{\Omega_u}{\Omega_p} \right) \right) = \lg(10^{0.1A_s} - 1) / (2 \lg(\lambda)), \quad (R_p = 3\text{dB 时}) \quad (7.5.26b)$$

(3) 求 Ω_c 。

当 $R_p \neq 3\text{dB}$ 时, $\Omega_p \neq \Omega_c$, 巴特沃思滤波器归一化低通原型的通带截止频率为 $\Omega_c = 1$, 去归一化成任意截止频率 Ω_c 时必须是在 3dB 衰减处的 Ω_c , 才能进行转换 [见 (7.5.18) 式], 为此必须求 Ω_c 。从 (7.5.23a) 式及 (7.5.23b) 式可分别求得两个 Ω_c 的表达式

$$\Omega_c \geq \Omega_p / \sqrt[2N]{10^{0.1R_p} - 1} = \Omega_{cp} \quad (7.5.27a)$$

$$\Omega_c \leq \Omega_u / \sqrt[2N]{10^{0.1A_s} - 1} = \Omega_{cu} \quad (7.5.27b)$$

即

$$\Omega_{cp} \leq \Omega_c \leq \Omega_{cu}$$

由于阶次选为 $\lfloor N+1 \rfloor$, 比要求的 N 大, 故若用 (7.5.27a) 式取等号求 Ω_c , 则通带衰减满足要求, 阻带指标则可超过要求 (Ω_u 处衰减可大于 $A_s \text{dB}$); 若用 (7.5.27b) 式取等号求 Ω_c , 则阻带衰减满足要求, 通带指标则可超过要求 (Ω_p 处衰减可小于 $R_p \text{dB}$)。

若选

$$\Omega_c = (\Omega_{cp} + \Omega_{cu}) / 2 \quad (7.5.27c)$$

则通带、阻带衰减皆可超过要求。

7.5.3 模拟切贝雪夫低通滤波器

切贝雪夫滤波器有两种: ①切贝雪夫 I 型: 通带内 $|H_a(j\Omega)|$ 是等波纹的, 阻带内 $|H_a(j\Omega)|$ 是单调下降的; ②切贝雪夫 II 型: 通带内 $|H_a(j\Omega)|$ 是单调的, 阻带内 $|H_a(j\Omega)|$ 是等波纹的。图 7.7 和图 7.8 分别画出了 $N = \text{奇数}$, $N = \text{偶数}$ 时这两种切贝雪夫滤波器的 $|H_a(j\Omega)|$ 。

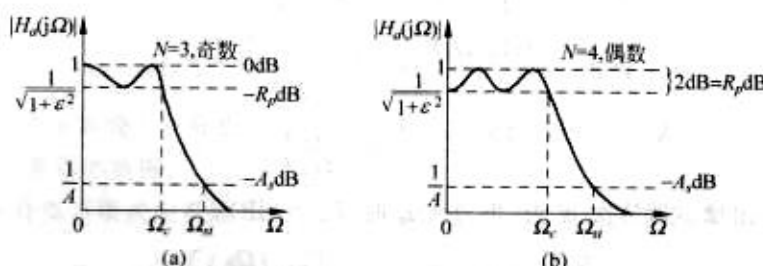


图 7.7 切贝雪夫 I 型模拟滤波器的幅度特性 (通带波纹 2dB)

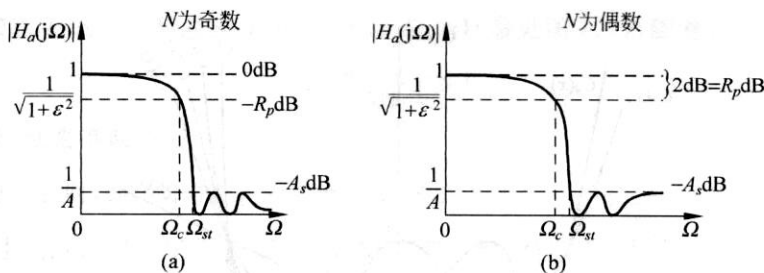


图 7.8 切贝雪夫 II 型模拟滤波器的幅度特性

一、切贝雪夫 I 型低通滤波器

1. 幅度平方响应 $|H_a(j\Omega)|^2$, N 及 Ω_c, ϵ

$$|H_a(j\Omega)|^2 = \frac{1}{1 + \epsilon^2 C_N^2\left(\frac{\Omega}{\Omega_c}\right)} \quad (7.5.28)$$

ϵ : 通带波纹参数, $\epsilon < 1$ 正数, ϵ 越大, 波纹越大。

Ω_c : 截止频率, 表示幅度响应某一衰减分贝数 (例如 0.1dB, 1dB, 3dB 等等) 处的截止频率。与巴特沃思滤波器不同, 不是特指 3dB 衰减处的截止频率。也就是说切贝雪夫滤波器不必是 3dB 衰减处的带宽。

N : 滤波器阶次, 正整数。

$C_N(x)$: N 阶切贝雪夫多项式, 定义为

$$C_N(x) = \begin{cases} \cos(N \cdot \arccos x), & x \leq 1 \\ \cosh(N \cdot \operatorname{arccch} x), & x > 1 \end{cases} \quad (7.5.29a)$$

$$(7.5.29b)$$

$C_N(x)$ 可展开成 x 的多项式如表 7.1 所示。

表 7.1 切贝雪夫多项式

N	$C_N(x)$	N	$C_N(x)$
0	1	4	$8x^4 - 8x^2 + 1$
1	x	5	$16x^5 - 20x^3 + 5x$
2	$2x^2 - 1$	6	$32x^6 - 48x^4 + 18x^2 - 1$
3	$4x^3 - 3x$	7	$64x^7 - 112x^5 + 56x^3 - 7x$

可以看出, $C_N(x)$ 的首项 x^N 的系数为 2^{N-1} , 由表 7.1 可导出 $N \geq 1$ 时, 切贝雪夫多项式递推公式

$$C_{N+1}(x) = 2xC_N(x) - C_{N-1}(x) \quad (7.5.30)$$

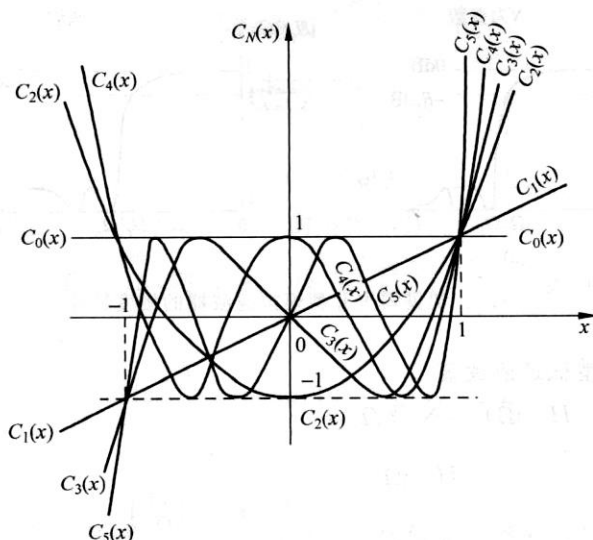
图 7.9 画出了 $N=0, 1, \dots, 5$ 的切贝雪夫多项式 $C_N(x)$ 的曲线。由图上看, $C_N(x)$ 在 $|x| \leq 1$ 内具有等波纹特性, 且满足

$$|C_N(x)| \leq 1, \quad |x| \leq 1$$

$$|C_N(x)| \text{ 单调增加}, \quad |x| > 1$$

2. 切贝雪夫 I 型低通滤波器幅度响应及其特点

其幅度响应为

图 7.9 $N=0, 1, \dots, 5$ 等各阶切贝雪夫多项式 $C_N(x)$ 曲线

$$|H_a(j\Omega)| = \frac{1}{\sqrt{1 + \epsilon^2 C_N^2\left(\frac{\Omega}{\Omega_c}\right)}} \quad (7.5.31)$$

下面结合图 7.7(a) 及图 7.7(b) 来讨论 $|H_a(j\Omega)|$ 的特点。

(1) $\Omega=0$ 时, 分两种情况。

$$H_a(j0) = \frac{1}{\sqrt{1 + \epsilon^2}}, \quad N = \text{偶数} \quad (7.5.32a)$$

$$H_a(j0) = 1, \quad N = \text{奇数} \quad (7.5.32b)$$

即 N 为偶数时, $|H_a(j0)|$ 是通带内最小值, N 为奇数时, $|H_a(0)|$ 是通带内最大值。

(2) $\Omega=\Omega_c$ 时。

$$|H_a(j\Omega_c)| = \frac{1}{\sqrt{1 + \epsilon^2}} \quad (7.5.33)$$

即不管阶数 N 为多少, 所有幅度响应曲线都在 Ω_c 频率处通过 $\frac{1}{\sqrt{1 + \epsilon^2}}$ 点, 所以把 Ω_c 称为切贝雪夫滤波器的通带截止频率, 但是在 Ω_c 下幅度响应衰减分贝数由 $\frac{1}{\sqrt{1 + \epsilon^2}}$ 确定, 而后者又和所给的通带衰减 R_p (分贝) 有关, 因而这一衰减不一定是 3dB, 这是与巴特沃思滤波器不同之处。

$$R_p = 20 \lg \frac{|H_a(j\Omega)|_{\max}}{|H_a(j\Omega_c)|} = -20 \lg |H_a(j\Omega_c)| = 10 \lg(1 + \epsilon^2) \quad (7.5.34)$$

(3) 在 $0 \leq \Omega \leq \Omega_c$ 的通带内, 由于 $\Omega/\Omega_c < 1$, 故 $|H_a(j\Omega)|$ 在 $1 \sim \frac{1}{\sqrt{1 + \epsilon^2}}$ 之间等波纹的起伏, N 就等于通带内起伏波纹的极值数(极大值加上极小值)如图 7.7(a) 和图 7.7(b) 所示, 其中图 7.7(a) 中, $N=3$, 有 3 个极值, 图 7.7(b) 中, $N=4$, 则有 4 个极值。

(4) 在 $\Omega > \Omega_c$ 的过渡带及阻带中, 由于 $\Omega/\Omega_c > 1$ (参见图 7.9), 随着 Ω 的增加, 有

$$\epsilon^2 C_N^2 \left(\frac{\Omega}{\Omega_c} \right) \gg 1$$

使得 $|H_a(j\Omega)|$ 迅速单调地趋近于零。

(5) 当 $\Omega = \Omega_{st}$ 时, 即在阻带截止频率处, 衰减为 $A_s = 20 \lg \frac{|H_a(j\Omega)|_{\max}}{|H_a(j\Omega_{st})|} = -20 \lg |H_a(j\Omega_{st})|$, A_s 为阻带最小衰减, 当 $\Omega > \Omega_{st}$ 时, 幅度响应衰减值会大于 A_s (dB)。

3. 切贝雪夫 I 型低通滤波器的系统函数 $H_a(s)$

(1) $H_a(s)H_a(-s)$ 。幅度平方函数在 s 平面的解析延拓即为 $H_a(s)H_a(-s)$, 由于 $h_a(t)$ 为实数, 故有

$$\begin{aligned} H_a(s)H_a(-s) &= |H_a(j\Omega)|_{\Omega=s/j}^2 = H_a(j\Omega)H_a^*(j\Omega)|_{\Omega=s/j} = H_a(j\Omega)H_a(-j\Omega)|_{\Omega=s/j} \\ &= |H_a(s)|^2 = \frac{1}{1 + \epsilon^2 C_N^2 \left(\frac{s}{j\Omega_c} \right)} \end{aligned} \quad (7.5.35)$$

可以看出 $H_a(s)H_a(-s)$ 的全部零点都在 $s = \infty$ 处, 在 $0 < s < \infty$ 处有极点, 因而也是“全极点型”滤波器。

$H_a(s)H_a(-s)$ 的极点 (推导过程可见本书第三版) 为

$$s_k = \sigma_k + j\Omega_k, \quad k = 1, 2, \dots, 2N \quad (7.5.36)$$

σ_k 与 Ω_k 分别为

$$\sigma_k = \mp \Omega_c a \sin \left[\frac{\pi}{2N} (2k-1) \right] \quad k = 1, 2, \dots, 2N \quad (7.5.37a)$$

$$\Omega_k = \Omega_c b \cos \left[\frac{\pi}{2N} (2k-1) \right] \quad k = 1, 2, \dots, 2N \quad (7.5.37b)$$

其中

$$a = \text{sh} \left[\frac{1}{N} \text{arcsch} \left(\frac{1}{\epsilon} \right) \right] \quad (7.5.38a)$$

$$b = \text{ch} \left[\frac{1}{N} \text{arch} \left(\frac{1}{\epsilon} \right) \right] \quad (7.5.38b)$$

将 (7.5.37a) 式与 (7.5.37b) 式分别取平方再化简, 可以得到 $H_a(s)H_a(-s)$ 在 s 平面的极点分布满足以下关系式

$$\frac{\sigma_k^2}{\Omega_c^2 a^2} + \frac{\Omega_k^2}{\Omega_c^2 b^2} = 1 \quad (7.5.39)$$

这是一个椭圆方程, 由于 $\text{ch}(\cdot) > \text{sh}(\cdot)$, 故长轴为 $\Omega_c b$ (在 s 平面的虚轴上), 短轴为 $\Omega_c a$ (在 s 平面实轴上)。

图 7.10 画出了确定切贝雪夫 I 型滤波器极点在椭圆上的位置的方法。先求出大圆 (半径为 $b\Omega_c$) 和小圆 (半径为 $a\Omega_c$) 上按等间隔角 π/N 均分的各个点, 这些点是虚轴对称的, 且一定都不落在虚轴上。 N 为奇数时, 有落在实轴上的点, N 为偶数时, 实轴上也没有。幅度平方函数的极点 (在椭

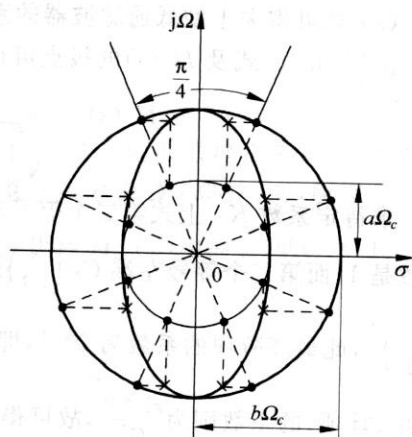


图 7.10 $N=4$ 时模拟切贝雪夫 I 型滤波器 $H_a(s)H_a(-s)$ 的极点位置图 (左半平面极点为 $H_a(s)$ 的)。极点以“×”表示

圆上)的位置是这样确定的:其垂直坐标由落在大圆上的各等间隔点确定,其水平坐标由落在小圆上的各等间隔点确定。

(2) $H_a(s)$ 的极点及波纹参数 ϵ

$H_a(s)H_a(-s)$ 在 s 左半面的极点就是 $H_a(s)$ 的极点,即有

$$s_k = \sigma_k + j\Omega_k, \quad k = 1, 2, \dots, N \quad (7.5.40)$$

其中 σ_k 及 Ω_k 为

$$\left. \begin{aligned} \sigma_k &= -\Omega_c a \sin\left[\frac{\pi}{2N}(2k-1)\right] \\ \Omega_k &= \Omega_c b \cos\left[\frac{\pi}{2N}(2k-1)\right] \end{aligned} \right\} k = 1, 2, \dots, N \quad (7.5.41)$$

实际应用中(7.5.38a)式及(7.5.38b)式求解 a, b 时并不方便,但是利用数学手册中的以下关系式

$$\operatorname{arcsch}\left(\frac{1}{\epsilon}\right) = \ln\left(\frac{1}{\epsilon} + \sqrt{\frac{1}{\epsilon^2} + 1}\right) \quad (7.5.42)$$

并利用 $\operatorname{sh}x = (e^x - e^{-x})/2$, $\operatorname{ch}x = (e^x + e^{-x})/2$, 将它们代入(7.5.38a)式、(7.5.38b)式,经化简后,可得更简便的 a, b 表达式

$$a = \frac{1}{2}(\gamma^{\frac{1}{N}} - \gamma^{-\frac{1}{N}}) \quad (7.5.43a)$$

$$b = \frac{1}{2}(\gamma^{\frac{1}{N}} + \gamma^{-\frac{1}{N}}) \quad (7.5.43b)$$

其中

$$\gamma = \frac{1}{\epsilon} + \sqrt{\frac{1}{\epsilon^2} + 1} \quad (7.5.44)$$

将(7.5.43)式、(7.5.44)式代入(7.5.41)式即可求得 $H_a(s)$ 的极点。其中 ϵ 为波纹参数,由通带衰减 R_p 确定,见(7.5.34)式,有

$$\epsilon = \sqrt{10^{0.1R_p} - 1} \quad (7.5.45)$$

(3) 切贝雪夫 I 型低通滤波器的系统函数 $H_a(s)$

由(7.5.35)式及 $H_a(s)$ 的极点可得到

$$H_a(s) = \frac{1}{\sqrt{1 + \epsilon^2 C_N^2\left(\frac{s}{j\Omega_c}\right)}} = \frac{K}{\prod_{k=1}^N (s - s_k)} \quad (7.5.46)$$

求待定系数 K : 上式第二个等号右端分母展开后是 s 的 N 阶多项式,其最高阶次 s^N 的系数是 1,而第二个等号左端 $C_N\left(\frac{s}{j\Omega_c}\right)$ 是 $\frac{s}{j\Omega_c}$ 的多项式,由表 6.5 看出,此多项式最高阶项为 $\left(\frac{s}{j\Omega_c}\right)^N$,此最高阶项的系数为 2^{N-1} ,即 s^N 的系数为 $\frac{2^{N-1}}{\Omega_c^N}$,再考虑 ϵ 在内,则整个分母多项式 s^N 项(首项)的系数则为 $\frac{\epsilon 2^{N-1}}{\Omega_c^N}$,故可得

$$K = \frac{\Omega_c^N}{\epsilon 2^{N-1}} \quad (7.5.47)$$

因此将 K 代入(7.5.46)式,最后得到系统函数为

$$H_a(s) = \frac{1}{\epsilon 2^{N-1}} \frac{\Omega_c^N}{\prod_{k=1}^N (s - s_k)} \quad (7.5.48)$$

(4) 切贝雪夫 I 型归一化低通原型滤波器的系统函数 $H_{an}(s)$

与巴特沃思归一化滤波器一样,也是将以上所有公式中的 Ω_c ,即通带截止频率 Ω_c 归一化为 $\Omega_c=1$ (Ω_c 不一定为 3dB 衰减处的频率,这是和巴特沃思滤波器不同的),就得到归一化后的所有公式。

在滤波器设计手册中都是列出归一化的低通滤波器的数据。

归一化切贝雪夫滤波器系统函数的极点 s_k 为

$$s_k = \sigma_k + j\Omega_k \quad (7.5.49)$$

$$\sigma_k = -a \sin \left[\frac{\pi}{2N} (2k-1) \right] \quad (7.5.50a)$$

$$\Omega_k = b \cos \left[\frac{\pi}{2N} (2k-1) \right] \quad (7.5.50b)$$

其中 a, b 以及与 a, b 相关的 γ 和 ϵ 的公式仍和非归一化低通滤波器的(7.5.43)式、(7.5.44)式、(7.5.45)式相同。

归一化切贝雪夫滤波器的系统函数 $H_{an}(s)$ 为

$$H_{an}(s) = \frac{1}{\epsilon 2^{N-1}} \frac{1}{\prod_{k=1}^N (s - s_k)} \quad (7.5.51)$$

其中 s_k 由(7.5.49)式、(7.5.50)式确定。

表 7.5、表 7.6、表 7.7 分别给出了归一化切贝雪夫 I 型低通原型滤波器分母多项式用系数、根及因式表示的数据。

$H_{an}(s)$ 分母多项式用系数 $a_0, a_1, \dots, a_{N-1}, a_N=1$ 表示及用根表示时为

$$H_{an}(s) = \frac{d_0}{s^N + a_{N-1}s^{N-1} + \dots + a_1s + a_0} = \frac{d_0}{(s-s_1)(s-s_2)\dots(s-s_N)} \quad (7.5.52)$$

其中

$$d_0 = \frac{1}{\epsilon 2^{N-1}} \quad (7.5.53)$$

(5) 与巴特沃思低通滤波器一样,将切贝雪夫 I 型归一化低通滤波器的系统函数 $H_{an}(s')$ “去归一化”后,就得到在衰减为 R_p (dB),通带截止频率为 Ω_p (即 Ω_c) 时,所需非归一化低通滤波器的系统函数 $H_a(s)$,去归一化的方法是用 $\frac{s}{\Omega_c}$ 代替 $H_{an}(s')$ 中的 s' ,见(7.5.18)式,重写如下($\Omega_c = \Omega_p$)

即

$$H_a(s) = H_{an}(s') \big|_{s'=\frac{s}{\Omega_c}} = H_{an}\left(\frac{s}{\Omega_c}\right)$$

4. 切贝雪夫 I 型低通滤波器的设计参数的确定

(1) 设计时给定的参数。

Ω_p : 所需通带截止频率; R_p : Ω_p 处 $|H_a(j\Omega_p)|$ 的衰减(dB)

Ω_{st} : 所需阻带截止频率; A_s : Ω_{st} 处 $|H_a(j\Omega_{st})|$ 的衰减(dB)

$$R_p = 20\lg \frac{|H_a(j\Omega)|_{\max}}{|H_a(j\Omega_p)|} = -20\lg |H_a(j\Omega_p)| \quad (7.5.54)$$

$$A_s = 20\lg \frac{|H_a(j\Omega)|_{\max}}{|H_a(j\Omega_{st})|} = -20\lg |H_a(j\Omega_{st})| \quad (7.5.55)$$

(2) 通带波纹参数 ϵ 与 R_p 的关系, 由于 Ω_p 就是通带截止频率 Ω_c , 以下用 Ω_p 代替 Ω_c , 将 $\Omega = \Omega_c = \Omega_p$ 代入(7.5.31)式的 $|H_a(j\Omega)|$ 中, 有 $[C_N^2(\Omega_p/\Omega_p) = C_N^2(1) = 1]$

$$|H_a(j\Omega_p)| = \frac{1}{\sqrt{1+\epsilon^2}} \quad (7.5.56)$$

将它代入(7.5.54)式中, 可得

$$R_p = 10\lg(1+\epsilon^2) \quad (7.5.57)$$

即

$$\epsilon = \sqrt{10^{0.1R_p} - 1} \quad (7.5.58)$$

(3) 阻带截止频率处响应幅度 $1/A$ (见图 7.7(a)、图 7.7(b)) 与 A_s 的关系。

由于

$$|H_a(j\Omega_{st})| = \frac{1}{A} \quad (7.5.59)$$

将它代入到(7.5.55)式中, 有

$$A_s = 20\lg A \quad (7.5.60)$$

即

$$A = 10^{0.05A_s} \quad (7.5.61)$$

(4) 阶数 N 。可由阻带边界条件确定 N 。

由(7.5.29b)式切贝雪夫多项式 $C_N(x)$ 当 $x > 1$ 时的定义可知

当 $x = \frac{\Omega_{st}}{\Omega_p} > 1$ 时, 有

$$C_N\left(\frac{\Omega_{st}}{\Omega_p}\right) = \text{ch}\left[N \cdot \text{arcch}\left(\frac{\Omega_{st}}{\Omega_p}\right)\right] \quad (7.5.62)$$

在(7.5.28)式中代入 $\Omega = \Omega_{st}$, 有

$$|H_a(j\Omega_{st})| = \frac{1}{A} = \frac{1}{\sqrt{1+\epsilon^2 C_N^2\left(\frac{\Omega_{st}}{\Omega_p}\right)}} \quad (7.5.63)$$

考虑到(7.5.58)式及(7.5.61)式, 从(7.5.63)式可得到

$$C_N\left(\frac{\Omega_{st}}{\Omega_p}\right) = \frac{1}{\epsilon} \sqrt{A^2 - 1} = \frac{1}{\epsilon} \sqrt{10^{0.1A_s} - 1} = \frac{\sqrt{10^{0.1A_s} - 1}}{\sqrt{10^{0.1R_p} - 1}} \quad (7.5.64)$$

再将(7.5.62)式代入, 可求得切贝雪夫低通滤波器的阶数 N

$$N \geq \frac{\text{arcch}\left[\frac{1}{\epsilon} \sqrt{10^{0.1A_s} - 1}\right]}{\text{arcch}(\Omega_{st}/\Omega_p)} = \frac{\text{arcch}\left[\sqrt{10^{0.1A_s} - 1} / \sqrt{10^{0.1R_p} - 1}\right]}{\text{arcch}(\Omega_{st}/\Omega_p)} \quad (7.5.65)$$

(7.5.65)式也可化为另一更简单的表达式。查数学手册知(只取正号)

$$\text{arcch}(x) = \ln(x + \sqrt{x^2 - 1}) \quad (7.5.66)$$

将此式代入(7.5.65)式, 并考虑到 $\ln y = (\lg y) \ln 10$, 由此可得

$$N \geq \frac{\lg \left[\frac{1}{\epsilon} \sqrt{10^{0.1A_s} - 1} + \sqrt{\frac{1}{\epsilon^2} (10^{0.1A_s} - 1) - 1} \right]}{\lg [\Omega_{st}/\Omega_p + \sqrt{(\Omega_{st}/\Omega_p)^2 - 1}]} = \frac{\lg \left[\sqrt{\frac{10^{0.1A_s} - 1}{10^{0.1R_p} - 1}} + \sqrt{\frac{10^{0.1A_s} - 1}{10^{0.1R_p} - 1} - 1} \right]}{\lg [\Omega_{st}/\Omega_p + \sqrt{(\Omega_{st}/\Omega_p)^2 - 1}]} \quad (7.5.67)$$

将(7.5.25)式表示的 λ_s 及 g 代入上式,则有

$$N \geq \frac{\lg [g + \sqrt{g^2 - 1}]}{\lg [\lambda_s + \sqrt{\lambda_s^2 - 1}]} \quad (7.5.68)$$

取 $\lfloor N+1 \rfloor$ 作为阶数 ($\lfloor \cdot \rfloor$ 表示取其整数部分), 仍记为 N 。注意此处的 Ω_p 就是切贝雪夫低通滤波器的通带截止频率 Ω_c , 在此频率处 $|H_a(j\Omega_c)|$ 衰减为 R_p (dB), 不一定要 3dB, 这是和巴特沃思低通滤波器不同之处。

(5) 由 N 及 ϵ , 查表可求得归一化原型低通滤波器的 $H_{an}(s)$ 。

(6) 同样(但并不必要), 可引出切贝雪夫 I 型低通滤波器的 3dB 截止频率(若 $R_p < R_{3dB}$)。

由于在 3dB 衰减处的频率 $\Omega_{3dB} > \Omega_p$ 故有 $\frac{\Omega_{3dB}}{\Omega_p} > 1$, 仍可利用(7.5.62)式及(7.5.64)式,

且考虑到(7.5.58)式, 将其 Ω_{st} 用 Ω_{3dB} 代替即可, 可导出(此时 $A = \sqrt{2}$)

$$\Omega_{3dB} = \Omega_p \cdot \operatorname{ch} \left[\frac{1}{N} \operatorname{arch} \left(\frac{1}{\epsilon} \right) \right] = \Omega_p \cdot \operatorname{ch} \left[\frac{1}{N} \cdot \operatorname{arch} \left[\frac{1}{\sqrt{10^{0.1R_p} - 1}} \right] \right] \quad (7.5.69)$$

二、切贝雪夫 II 型低通滤波器